



## 水島第2高炉（3次）改修について

Reconstruction of Mizushima No. 2 Blast Furnace for the Third Campaign

門元啓五\*  
Keigo Kadomoto

加藤伸直\*\*  
Nobunao Kato

石原徹\*\*\* 大石昌右\*\*\*\*

### Synopsis:

No. 2 blast furnace at Mizushima Works was blown out on July 31, 1978 and blown in on March 20, 1979

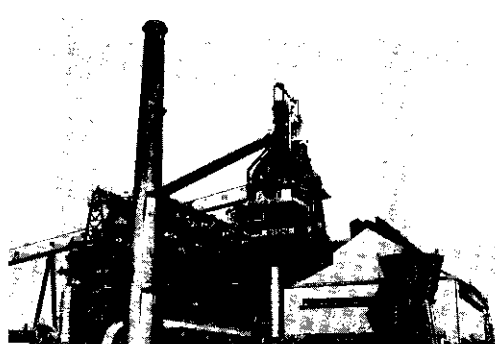


Photo. 1 No. 2 blast furnace at Mizushima Works

を重視した。このため徐冷方法の決定にあたり、伝熱計算により技術的検討を行った。その結果、徐冷方法は原則として完全閉め込みの自然放冷とし、スケジュールに遅れを生じた場合には自然通風冷却を行うことにした。Fig. 1 に熱風炉徐冷設備を示す。

徐冷実績を、Fig. 2 に示す。冷却速度は計画よりやや速かったが、冷却後のれんが状況は良好で、問題なく再使用できると判断した。

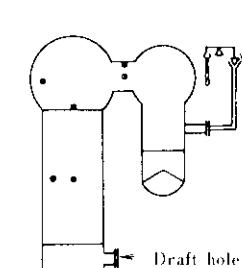


Fig. 1 Slow cooling arrangement of hot stove  
● means a position of thermocouple.

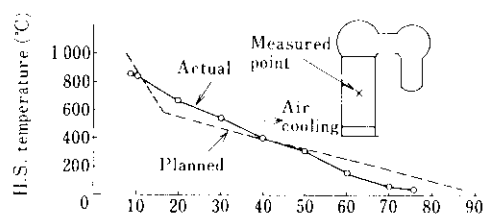


Fig. 2 Cooling performance of No.5 hot stove

懸念されていたトラブルもなく終了し、空炉吹鉛し操業技術を確立できた。

## 2・2 热風炉徐冷

第2高炉の热風炉は、2次改修時に鉄皮、れんがなど主要部を更新したが、その際設備的改善を行っており、2次操業での適切な热風炉操業管理と相まって、設備はほぼ健全に保たれてきた。ま

た、2次操業の初期より、热風炉の操業および設備管理に活用するため、蓄熱室の圧力損失を定期的に測定し、次式により抵抗係数  $k$  を求めてギッタれんがの異常の有無や経年変化を調査している。この抵抗係数は Table 2 および Fig. 3 に示す。

Table 1 Construction and reconstruction of the blast furnace

Main specifications		Reconstructed items
<b>Blast furnace</b>		
Type	Free standing	Renewed : Furnace shell ; Brickworks ; Staves ; Piping for water cooling of furnace body
Daily production	6 000t/d	
Inner volume	2 857m <sup>3</sup>	
Hearth diameter	11.8m	Repaired : Shaft decks ; Water circulation pumps for staves ; Chemical dosing equipments and heat exchanger of stave cooling water
Tapholes	3	
Cinder notches	0	
Tuyeres	33	
Cooling system		
Bottom	Water conduit	
Shaft, belly, bosh	Stave cooling	
Hearth	Water spray	
<b>Hot stove</b>		
Type	Koppers type with external	Newly installed : Air preheater

## Cast house and auxiliaries

Cast floors	Two floors on the opposite side of the furnace	Renewed : Splash covering crane; Tapping machine
Mud guns	3	Renovated: Cast houses, Cast floors, Mud guns

Splash covering cranes	3
Type	Wall crane
Capacity	12t
Dust collector	
Type	Dry type (Bag filter)
Capacity	20 000Nm <sup>3</sup> /min
Outlet dust content	0.01g/Nm <sup>3</sup>

System	Dust catcher Venturi scrubber	Renewed : Throat assembly of venturi scrubber; Water feeding and dosing piping of
--------	----------------------------------	--

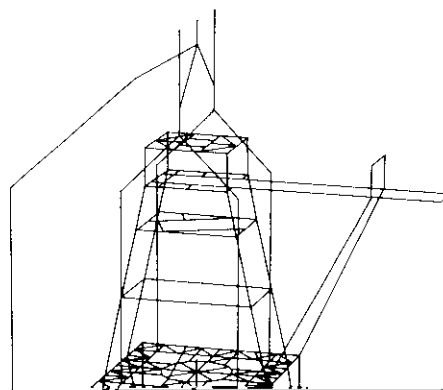


Table 3 Grade of shell plate used for No.2 blast furnace

	Steel grade	Thickness of shell plate (mm)
Bottom shell		60
Shell around tap hole	JIS G3106 SM50B-N	75
Shell around tuyeres		80
Bosh shell		70

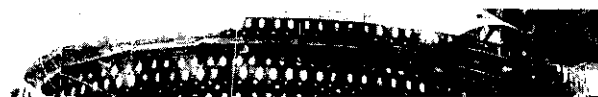
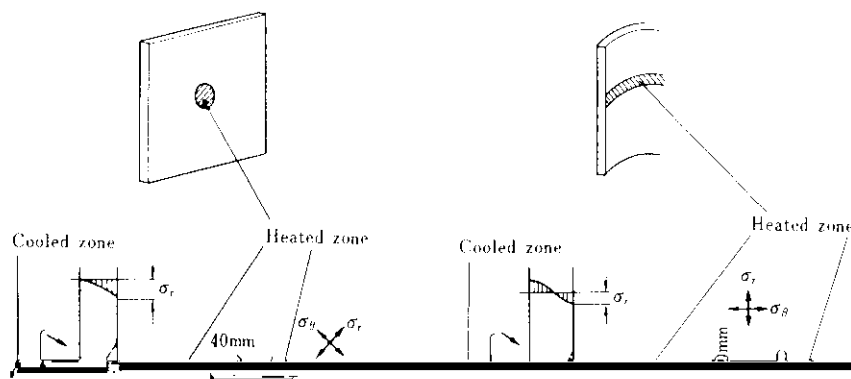


Table 4 Calculated surface temperatures\* of carbon particles at different temperatures



$$R_{\text{eff}} = \frac{S(1-\mu) \cdot k}{5.0 \cdot \log_{10}(1 + \text{rate} / \text{rate}_{\text{max}})}$$

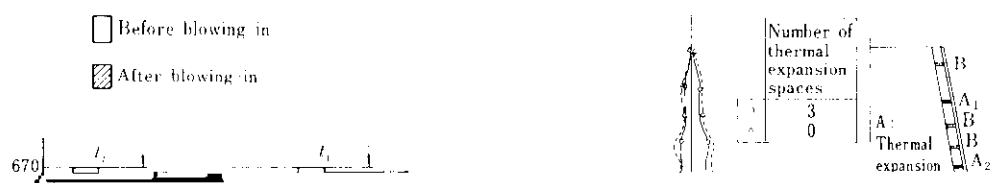
卷之三

$R$ ：熱衝擊破壞抵抗係數 (kcal/m·h)

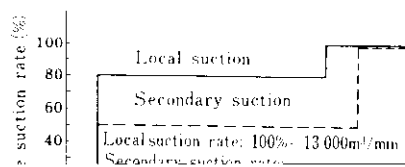
$S$ ：圧縮強さ ( $\text{kg}/\text{cm}^2$ )

$\mu$  : Poisson 比

従来のが体れんが積では、左腹～左胸部で2～3箇所のれんが熱膨張代を設けており、これが火入れ初期におけるれんが脱落の最大の原因になると考えられていた。







Time from start of tapping (min)

Fig. 19 Suction pattern for cast house emission control

## 6・2 硬質水砕スラグ製造設備

硬質水砕スラグ製造技術を確立するためのプロジェクトチームにより、K-N(川鉄・永田)式冷却機が開発され、第2高炉(3次)改修に際し第1号

## 7. むすび

以上、本論文の実験結果を述べた。今後は

改善を中心に概要を報告した。

第2高炉は水入れ後、設備面でのトラブルも少

なく、従者の苦労は軽減され、顺利に運転された。